

F. Masoumi-Zahandeh

Department of Civil Engineering, Nour branch, Islamic Azad University, Nour, Iran.

e-mail: masoumi.fereydoun@gmail.com

M. Hoseinzadeh

Department of Civil Engineering, Islamic Azad University Nour Branch, Nour, Iran.

e-mail: m_hoseinzadeh@iaunour.ac.ir

S. Rahimi

Department of Civil Engineering, School of Engineering, Islamic Azad University Nour Branch, Nour.

e-mail: s Rahimi@iaunour.ac.ir

M. Ebadi-Jamkhaneh*

Department of Civil Engineering, School of Engineering, Damghan University.

e-mail: m.ebadi@du.ac.ir

Investigation of the Behavior of Buckling-Restrained Steel Plate Shear Wall under Fire Loading

In this study, the seismic behavior of an all-steel buckling-restrained (AB) steel plate shear wall (SPSW) with incline slits under fire and cyclic loading was investigated. ABSPSW was composed of two thin steel infill plates with a narrow distance from each other, which were embedded with incline slits on each plate. These slits were in opposite directions to each other. The finite element (FE) numerical model was validated with three test specimens and after ensuring the modeling strategy, the parametric study was performed by considering variables such as wall plate thickness, slit width, strip width between two slits, and degree of temperature. A total of 256 FE numerical models were subjected to coupled temperature-displacement analysis. The results of the analysis showed that the high temperature reduced the seismic performance of the ABSPSW so that at 917°C, the load-bearing capacity was reduced by 92%. In addition, with the increase in the temperature, the yield point of the infill plate and frame occurred in a small displacement. The average decrease in shear strength at 458°C, 642°C, and 917°C was 18%, 46%, and 92%, respectively, compared to the shear strength at 20°C. Also, with increasing the temperature to 917°C, ductility increased by an average of 75%.

Keywords: Fire engineering, Steel structures, Thermal effects, Seismic engineering.

* Corresponding author

Received 16 September 2021, Revised 26 October 2021, Accepted 07 November 2021.
DOI: 10.22091/cer.2021.7372.1298

بررسی رفتار دیوار برشی فولادی کمانش‌تاب تحت اثر حریق

فریدون معصومی زهندی

دانشکده فنی و مهندسی، دانشگاه

آزاد اسلامی واحد نور، نور، ایران.

پست الکترونیک:

masoumi.fereydoun@gmail.com

محمد حسینزاده

استادیار، دانشگاه آزاد اسلامی

واحد نور، نور، ایران.

پست الکترونیک:

m_hoseinzadeh@iaunour.ac.ir

سپیده رحیمی

استادیار، دانشکده فنی و مهندسی،

دانشگاه آزاد اسلامی واحد نور، نور،

ایران.

پست الکترونیک:

s Rahimi@iaunour.ac.ir

مهردی عبادی جامخانه*

استادیار، دانشکده فنی و مهندسی،

دانشگاه دامغان، دامغان، ایران.

پست الکترونیک:

m.ebadi@du.ac.ir

۱- مقدمه

نظر گرفته شود. در طول دهه‌های اخیر، مطالعات گسترده‌ای به منظور ارزیابی مقاومت، شکل‌پذیری، رفتار هیسترزیس، اثر اتصالات تیر به ستون، اثر بازشو، ضربه رفتار، اثر فولاد با تنفس تسلیم پائین و غیره بر روی دیوارهای برشی فولادی صورت پذیرفت [۱-۴]. از جمله این مطالعات می‌توان به بررسی‌های آزمایشگاهی صورت گرفته توسط رابرتس و صبوری‌قمری^۱، آستانه اصل^۲ و ویان و همکاران^۳ اشاره نمود [۳، ۵ و ۶]. همچنین برای تحلیل و

از مزایای سیستم دیوار برشی فولادی با ورق نازک می‌توان به سختی اولیه قابل ملاحظه، مقاومت پس کمانشی بالا، جذب انرژی زیاد و کاهش وزن سازه اشاره نمود. این ویژگی‌ها، موجب شده است تا این سیستم به عنوان گزینه مناسب سیستم برابر جانبی برای سازه‌ها در

* نویسنده مسئول

تاریخ: دریافت ۱۴۰۰/۰۶/۲۵، بازنگری ۱۴۰۰/۰۸/۰۴، پذیرش ۱۴۰۰/۰۸/۱۶.

DOI: 10.22091/cer.2021.7372.1298

^۱- Roberts and Sbouri-Ghomī

^۲- Astaneh Asl

^۳- Vian

سختی و مقاومت سیستم دیوار برشی فولادی می‌شود. علاوه بر این، شکل‌گیری متناوب میدان کششی قطري و میدان فشاری تحت بار چرخه‌ای موجب آسیب رساندن به ورق می‌شود که توسط آرمایش و مدل‌سازی عددی ثابت شده است. سومین استراتژی، استفاده از ورق‌های نازک فولادی با تخته‌های مقاوم بتن در برابر کمانش بود. مشکل این روش در این بود که تخته مقاوم در برابر کمانش معمولاً از بتن ساخته می‌شود که طبیعتاً باعث افزایش وزن دیوار برشی شده و به دلیل مقاومت کششی پایین بتن، این تخته‌ها ممکن است تحت بارهای ناگهانی از قبیل زلزله دچار ترک‌هایی شوند [۲۵ و ۲۶].

با توجه به نواقص مطرح شده، نوع جدیدی از دیوار برشی فولادی کمانش تاب در سال ۲۰۱۷ توسط ونگ^۵ و همکاران معرفی شد. این دیوار برشی فولادی، از دو ورق فولادی نازک با فاصله کم از یکدیگر در داخل قاب فولادی قرار دارند. شیارهای مورب روی هر دو ورق فولادی ایجاد می‌شود. این شیارها بر روی ورق‌ها در جهت عکس یکدیگر قرار دارند [۲۷]. از مزایای این سیستم نسبت به سیستم دیوار برشی فولادی مرسوم می‌توان به این موضوع اشاره نمود که شرایط تنفس ورق به طور متناوب از کشش و فشار قطري به کشش و فشار محوری تغییر پیدا می‌کند که به طور مؤثری آسیب پلاستیک را که معمولاً در ورق فولاد معمولی تحت کمانش برشی و تسلیم کششی اتفاق می‌افتد، از بین می‌برد. همچنین سختی و مقاومت این سیستم را می‌توان با تغییر در تعداد شیارها، عرض شیارها، فاصله نوارها و زاویه شیارها با محور افق بدون تغییر در ضخامت ورق فولادی دیوار تنظیم نمود.

با توجه به تأثیر عوامل محیطی بر عملکرد رفتار سازه‌ها، مخصوصاً سازه‌های بلندمرتبه و خاص، بایستی خطرات محیطی که موجب مختل نمودن عملکرد سازه می‌شود را در طراحی آنها در نظر گرفت. یکی از مهم‌ترین

طراحی پانل‌های برشی فولادی، مدل‌های مختلفی نظیر مدل نواری پیشنهادی Thorburn^۴ و همکاران و مدل اندرکنش ورق با قاب توسط صبوری‌قمنی و رابرتر پیشنهاد شد [۷ و ۳].

در طی بررسی‌های مختلف توسط محققین، سه رویکرد کلی برای طراحی دیوارهای برشی فولادی در نظر گرفته شدند. اولین استراتژی، استفاده از ورق ضخیم‌تر، سخت‌کننده‌های عرضی، سخت‌کننده‌های متقطع و قطري بود که موجب تقویت ورق فولادی دیوار برشی می‌شد [۱۲-۸]. همچنین راهکار دیگر، برای تقویت ورق فولادی و افزایش مقاومت کمانشی، استفاده از تخته‌های بتنی در دو طرف ورق فولادی دیوار بود [۱۳ و ۱۴]. نقص اصلی این تکنیک، استفاده زیاد از مصالح فولادی است. در عین حال، معمولاً تسلیم ورق فولادی در این تکنیک بعد از تسلیم کلی قاب فولادی اتفاق می‌افتد، که در نتیجه نمی‌تواند به عنوان وسیله استهلاک انرژی عمل کند. دومین استراتژی، استفاده از ورق فولادی نازک به منظور اجازه دادن و رخ دادن کمانش برشی در ورق فولادی با تعریف حفره‌هایی عمودی و بازشوهايی با اشکال مختلف در داخل و لبه‌های دیوار به منظور ضعیف کردن ورق فولادی دیوار بود [۲۰-۱۵]. به عنوان راهکار دیگر، از مصالح فولادی با نقطه تنفس تسلیم پایین جهت کاستن مقاومت برشی استفاده شد [۲۱ و ۲۴-۲۶].

در این حالت، مقاومت پس کمانشی بزرگی در سیستم دیوار برشی فولادی در اثر ایجاد میدان کششی ایجاد می‌شود. تشکیل میدان کششی بعد از کمانش برشی ورق فولادی نازک می‌تواند به سیستم دیوار برشی فولادی برای تداوم مقاومت در برابر نیروی افقی کمک کند. از طرفی، نیروهای کششی که در اثر میدان کششی تولید شدند به طور مستقیم به ستون قاب منتقل می‌شوند و این موضوع می‌تواند باعث تسلیم زودرس آن شود. کمانش برشی الاستیک ورق فولادی معمولاً منجر به کاهش

⁵- Wang

4- Thorburn

[۳۱]. در سال ۲۰۰۹، به بررسی پاسخ حرارتی و سازه‌ای سه قاب فولادی کامپوزیتی دوطبقه با دو دهانه تحت بار حرارتی پرداخته شد. این آزمایش‌ها با یکدیگر از نظر تعداد و موقعیت نقاط در معرض حرارت تفاوت داشتند. تحقیقات نشان داد که تغییرشکل‌های ایجاد شده در قاب‌ها، تابعی از تعداد و موقعیت نقاطی است که در معرض بارگذاری حرارتی قرار گرفتند [۳۲]. پژوهشگران دیگری، به بررسی خرابی پیشرونده ساختمان‌های فولادی تحت شرایط آتش پرداختند. نتایج تحقیق آنها نشان داد که قاب‌های مهاربندی نشده با نسبت بارگذاری کمتر و مقطع تیر بزرگ‌تر، دمای گسیختگی بالاتری را نیاز خواهد داشت که در اثر آن خرابی کلی در سازه اتفاق بیافتد [۳۳]. هوهلر^۸ و همکاران در سال ۲۰۱۶ به بررسی رفتار ورق دیوار برشی فولادی تحت بارهای لرزه‌ای و آتش پرداختند. شش نمونه دیوار برشی فولادی با ابعاد ۲/۷ در ۳/۷ متر که قاب‌های اطراف آن از فولاد سرد نورد شده بودند و ورق‌های فولادی دیوار با استفاده از صفحات گچی پوشانده شده بود، مورد آزمایش قرار گرفتند. نتایج نشان داد که آتش باعث تغییر مود خرابی دیوار می‌گردد. در اثر حریق، کمانش موضعی ورق به کمانش کلی تبدیل می‌شود و ظرفیت باربری جانبی آن نیز حدود ۳۵٪ کاهش می‌یابد [۳۴].

ریو^۹ و همکاران در سال ۲۰۲۱ به تحلیل خرابی پیشرونده ورق‌های فولادی تحت بارگذاری حریق پرداختند. آنها توانستند مدل محاسباتی جدید برای تحلیل انتقال حرارت و رفتار خرابی پیشرونده ورق‌های فولادی دارای سخت‌کننده تحت حریق ارائه دهند [۳۵]. محققان همچنین آزمایش‌های حریق بر روی ورق‌های فولادی سرد نورد شده را انجام دادند. نتایج تحقیقات نشان داد که در صورت استفاده از مقاطع مربع یا مستطیلی توخالی در دیوارهای سرد نورد شده نسبت به

عوامل محیطی، آتش‌سوزی ساختمان‌ها است و برای لحاظ کردن اثرات آن در سازه‌ها باید رفتار مصالح و اجزای مختلف سازه تحت بارگذاری حریق مورد بررسی قرار بگیرد. تأثیر حرارت بر فولاد از لحاظ خواص مکانیکی با زوال خصوصیات مقاومتی و سختی آن همراه است. حرارت زیاد، بر سختی الاستیک، مقاومت تسلیم و مدول الاستیسیته مصالح فولاد تأثیرگذار است. به دلیل انبساط حرارتی فولاد، در اعضای سازه‌های مقید، نیروهای مازاد بر نیروهای داخلی اعضا بر آنها اعمال می‌شود که قابل ملاحظه است و موجب تغییرشکل‌های بزرگ در سازه می‌شود و باید در طراحی لحاظ گردد [۲۸].

با استفاده از شبیه‌سازی‌های عددی، لیو و چن^۶ به بررسی اندرکنش میان آثار ناشی از آتش و انفجار بر عملکرد ستون‌ها و قاب‌های یک سازه فولادی پرداختند. آنها در مدل سه‌بعدی، کمانش موضعی و کمانش پیچشی-جانبی تیرها را منظور کردند که به موجب آن، هنگامی که ستون‌های بحرانی سازه در معرض آتش قرار گرفتند، دچار کمانش شده و سازه دچار خرابی پیشرونده گردید [۲۹]. یانگ^۷ و همکاران در سال ۲۰۰۵، به بررسی آزمایشگاهی کمانش موضعی ستون‌های فولادی در برابر آتش پرداختند. هدف مطالعه آنها بررسی تغییرات مقاومت نهایی ستون‌های فولادی و آثار کاهنده ناشی از افزایش حرارت بر مقاومت ستون بود. نتایج بررسی‌ها نشان داد که بارهای نهایی ستون‌ها با افزایش نسبت عرض به ضخامت یا درجه حرارت، کاهش می‌یابند [۳۰]. لیو در سال ۲۰۰۸، به بررسی قابلیت بهره‌برداری و استفاده مجدد از ساختمان‌های با قاب فولادی در شرایط انفجار و آتش به کمک روش عددی پیشنهادی پرداخت. پس از انجام تحلیل‌های متعدد، مشخص گردید که سازه در برابر اثرات مذکور، کاملاً آسیب‌پذیر است که به دلیل مقاومت کم سازه در برابر آتش، اعضای آن دچار تغییرشکل شدند

⁶- Liew and Chen

⁷- Yang

⁸- Hoehler
⁹- Ryu

مدل های شبیه سازی شده در مطالعه حاضر، مطابق با مدل ارائه شده توسط ونگ و همکاران می باشد [۲۷]. ابعاد ورق فولادی دیوار برابر با ۲ متر و ضخامت ۶ میلیمتر می باشد. از مقاطع H شکل به سطح مقطع ۳۰۰×۳۰۰×۱۶×۱۶ برای المان های مرزی استفاده شده است. تنفس تسلیم مصالح فولادی به کار رفته در المان های مرزی برابر با ۳۴۵ مگاپاسکال و در ورق فولادی دیوار برشی برابر با ۲۳۵ مگاپاسکال می باشد. فرآیند مدل سازی با کمک برنامه المان محدود آباکوس نسخه ۶/۱۴ انجام گرفته است و المان های پوسته ای S4R چهار گره ای انتگرال کاهش یافته برای مشبندی المان های مرزی و ورق دیوار فولادی استفاده شده است [۴۰]. علاوه بر این، هندسه غیر خطی سیستم در تحلیل ها لحاظ شده است. ورق فولادی دیوار نیز به المان های مرزی با استفاده از قید tie متصل شده است.

تأثیر پارامترهای مختلفی نظیر نسبت لاغری ورق دیوار، عرض شیار، عرض نوار بین دو شیار و دمای حریق بر رفتار دیوار برشی تمام فولادی کمانش تاب به روش المان محدود بررسی شدند. در جدول ۱، جزییات مدل های عددی مورد مطالعه در این مقاله ارائه شده است. Infill با توجه به جدول، حرف IP از ابتدای دو حرف Plate گرفته شده است. عدد بعد از آن بیانگر ضخامت ورق دیوار فولادی است. اعداد بعدی به ترتیب نمایانگر عرض شیار، عرض نوار بین دو شیار و دمای حریق می باشد. بدین ترتیب، ۲۵۶ مدل عددی تحت بارگذاری چرخه ای قرار داده شد.

۲-۲-المان

رفتار دیوار برشی فولادی با استفاده از برنامه المان محدود آباکوس/استاندارد مورد مطالعه قرار می گیرد [۴۰]. در مدل المان محدود، ورق فولادی دیوار و المان های مرزی با استفاده از المان S4R که یک المان پوسته ای چهار گره ای با انتگرال کاهش یافته است، مدل

مقاطع معمولی، مقاومت در برابر حریق بالاتری خواهد داشت [۳۶]. در مقاله ای دیگر در سال ۲۰۱۹، بررسی مقاومت برشی نهایی تیر ورق های فولادی در شرایط معمولی و دمای بالا پرداخته شد. پژوهشگران نتایج عددی خود را با ضوابط طراحی آبین نامه یوروکد^{۱۰} مقایسه کرده و رابطه جدیدی برای سهم جان تیر ورق از مقاومت کمانش برشی در دو وضعیت دمایی مختلف ارائه نمودند [۳۷].

در واقعیت به دلیل اینکه ممکن است پس از وقوع زلزله اصلی، زیرساخت هایی نظیر تأسیسات برقی و گاز، دچار آسیب شده و این آسیب منجر به آتش سوزی گردد، بنابراین بررسی ظرفیت باقیمانده سیستم برای مقابله با پس لرزه های بعدی و به طور کلی، تعیین ظرفیت باربری سیستم نیاز به بررسی جامعی دارد. با توجه به مطالعات صورت گرفته در زمینه آتش و سازه های فولادی شامل دیوار برشی فولادی، ملاحظه می گردد که تحقیقات اندکی بر روی رفتار این سیستم صورت پذیرفته است و نتایج محدودی ارائه شده است. همچنین یافته های کمی در ارتباط با دیوارهای برشی فولادی کمانش تاب تمام فولادی وجود دارد. از این روند، در این مقاله، به بررسی رفتار سیستم دیوار برشی فولادی کمانش تاب تمام فولادی در مقابل آتش و میزان آسیب پذیری آن پرداخته شده است. در این تحقیق، پس از حصول اطمینان از عملکرد مدل عددی، ابتدا مدل المان محدود از سیستم دیوار برشی نازک فولادی کمانش تاب، تحت حریق با الگوی بارگذاری ISO-834 قرار داده می شود [۳۸]. سپس، دیوار برشی فولادی مطابق با الگوی بارگذاری ATC-24 تحت بارگذاری چرخه ای قرار می گیرد تا رفتار و عملکرد آن بررسی گردد [۳۹].

۲-روش تحقیق

۲-۱-مدل های عددی

¹⁰- Eurocode 3

مش برابر با ۴۰ در ۴۰ میلیمتر حاصل شده است.

شده است. همچنین با انجام آنالیز حساسیت، اندازه کلی

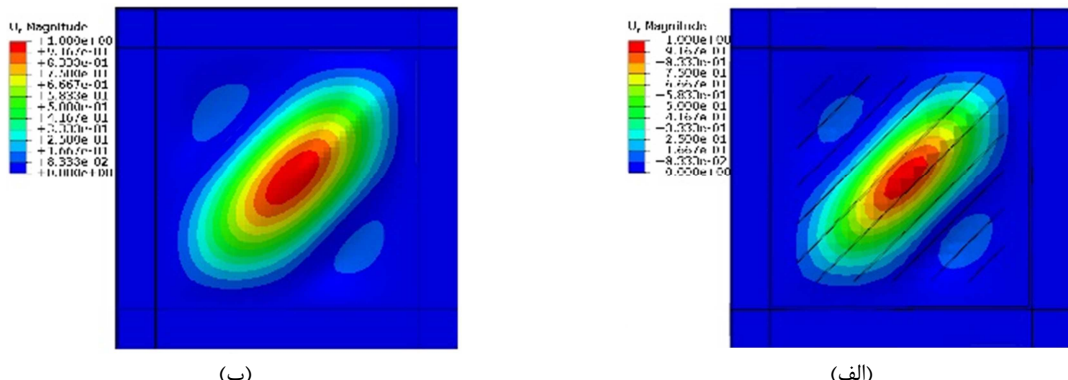
جدول ۱- معرفی و نامگذاری مدل‌های عددی

ضخامت (mm)	عرض شیار (mm)	عرض نوار (mm)	دما (°C)	
۳	۱۰	۱۰۰	۲۰	IP
۴	۳۰	۱۵۰	۴۵۸	
۵	۶۰	۲۰۰	۶۴۲	
۶	۱۰۰	۲۵۰	۹۱۷	

ناکاملی اولیه به مدل‌ها، یک تحلیل کمانش انجام گرفت و مود کمانش اول آن استخراج شد. تحلیل کمانش الاستیک دیوار فولادی با ورق بدون شیار و با شیار در شکل ۱ نشان داده شده است.

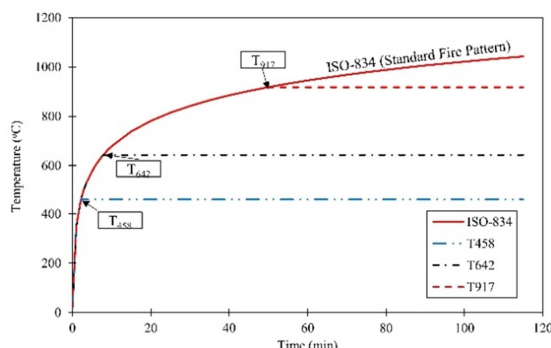
۳-۲- ناکاملی اولیه

در تمام مدل‌ها، یک ناکاملی اولیه کوچک اعمال شده است. آیین‌نامه یوروکد ۳ توصیه می‌کند که ناکاملی برونو صفحه‌ای ورق‌ها باید کمتر از ۰/۰۰۵ عرض یا ۰/۰۰۵ ارتفاع پنل فولادی باشد [۴۱]. برای لحظه نمودن



شکل ۱- ناکاملی هندسی اولیه برای دیوارهای برشی فولادی (الف) با (ب) بدون شیار

در رابطه (۱)، T_0 دمای اولیه و T دمای ثانویه بر حسب درجه سلسیوس است. t دوره و زمانی که حریق طول می‌کشد و بر حسب دقیقه است، می‌باشد (شکل ۲).



شکل ۲- الگوی بارگذاری آتش مطابق با استاندارد ISO-834

[۳۸]

۴-۲- بارگذاری و شرایط مرزی

مطالعه حاضر، به منظور ارزیابی عملکرد لرزه‌های دیوار برشی فولادی تحت حریق انجام گرفته است. از این‌رو، مدل‌های شبیه‌سازی شده در دو گام تحلیل می‌شوند. در گام اول، حرارت تا رسیدن به دمای هدف و براساس استاندارد ISO-834 افزایش داده می‌شود [۳۸]. تأثیر آتش اغلب با استفاده از یک منحنی دما-زمان بیان ISO-834 می‌گردد. در تحقیق حاضر، از رابطه و منحنی ISO-834 استفاده شده است:

$$T = 345 \log_{10}^{(8t+1)} + T_0 \quad (1)$$

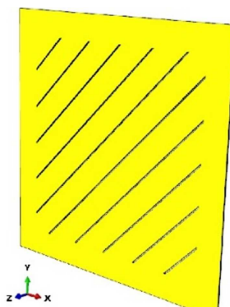
دیوار و المان های مرزی جهت شبیه سازی جوش بین آنها استفاده شده است [۴۰]. انتهای پایین المان های عمودی در سه راستای انتقالی محور مختصات مقید شدند که در شکل ۳ نشان داده شده است. تغییر مکان در راستای محور z برای بالای المان های عمودی جهت منظور نمودن ممانعت از تغییر شکل برون محوری، مقید شده است. همچنین بار رفت و برگشتی به انتهای سمت راست بالای المان افقی با روش کنترل تغییر مکان در تحلیل های چرخه ای غیر خطی اعمال شده است.

در گام دوم، تحت دمای ثابت، تحلیل های چرخه ای انجام می شوند. بنابراین، در این سناریو، دیوار فولادی تحت بار گذاری چرخه ای مطابق با الگوی بار گذاری مندرج در ATC-24 قرار گرفته و رفتار آن در دمای بالا بررسی می شود [۳۹]. الگوی بار گذاری اعمال شده در جدول ۲ نشان داده شده است.

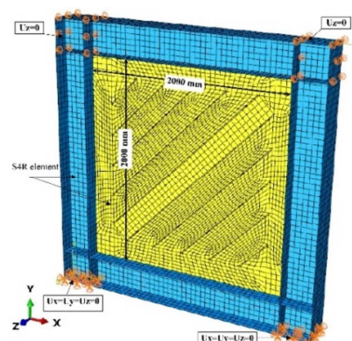
روش نیوتون- رافسون برای بروزرسانی ماتریس مماسی در طول تحلیل غیر خطی استفاده شده است. اتصالات بین المان های مرزی به صورت صلب در نظر گرفته شده اند. قید tie در مرز مشترک بین ورق فولادی

جدول ۲- الگوی بار گذاری چرخه ای

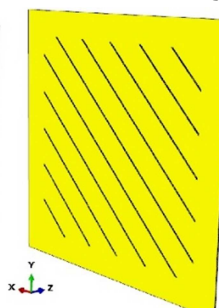
شماره سیکل	زاویه دریفت (رادیان)	شماره سیکل	زاویه دریفت (رادیان)	شماره سیکل	زاویه دریفت (رادیان)
۱	$\pm 0/0025$	۵	$\pm 0/0075$	۳	$\pm 0/015$
۲	$\pm 0/005$	۶	$\pm 0/01$	۴	$\pm 0/02$



(ب) نمای رو برو از دیوار دارای شیار



(الف) مدل مشبندی شده و شرایط مرزی



(پ) نمای پشت دیوار دارای شیار

شکل ۳- مدل المان محدود

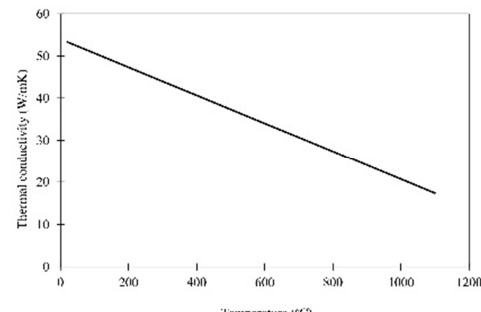
مدل سخت شوندگی جنبشی غیر خطی^{۱۱} با مدل خسارت شکل پذیر ماده^{۱۲} برای بیان رابطه تنش- کرنش

۵-۲- مصالح فولادی

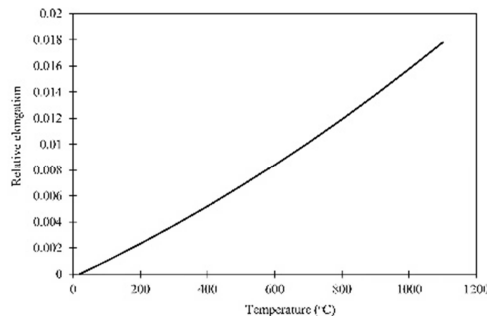
¹¹- Nonlinear kinematic hardening model

¹²- Ductile material damage

پلاستیک برای مدل سازی واقعی تر رفتار مصالح تحت بارگذاری چرخه‌ای فرض گردیده است. علاوه بر این، معیار تسليمی فون میسز برای تسليمی مواد استفاده شده است. ضمناً، مشخصات مکانیکی مصالح وابسته به دما مطابق با استاندارد یوروکد ۳ در شکل ۴ نشان داده شده است [۴۱].



(ب) هدایت حرارتی



(ت) تغییر طول حرارتی در دماهای مختلف

شکل ۴- مشخصات حرارتی مصالح فولادی

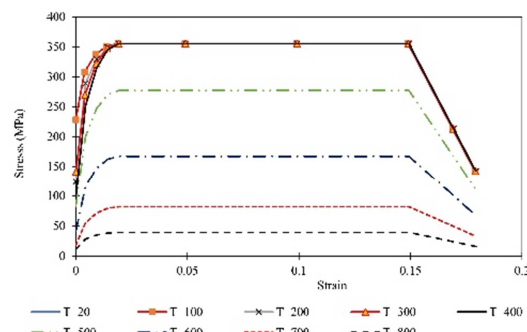
برشی فولادی تحت بارگذاری حریق، از مدل آزمایشگاهی رفتار تیر تحت بارگذاری حریق که توسط توریک^{۱۵} و همکاران مورد بررسی قرار گرفت [۴۴]. در ادامه، جزئیات و نتایج هر سه مدل اعتبارسنجی تشریح می‌شوند.

(الف) مدل اعتبارسنجی اول

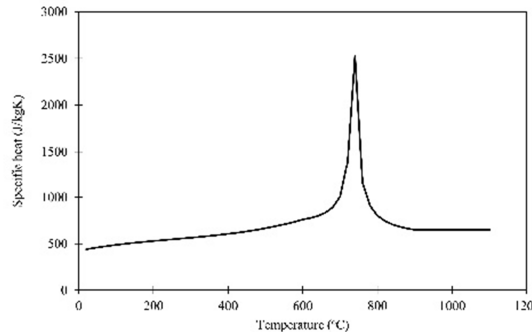
هیتاکا و ماتسوی، ^{۴۲} نمونه آزمایشگاهی شامل ورق فولادی با آرایش‌های مختلف شیارهای عمودی روی ورق فولادی را تحت بارگذاری چرخه‌ای مورد بررسی قرار دادند. ورق فولادی مربع شکل به بعد ۸۰۰ میلیمتر بود که دو سخت‌کننده به عرض ۵۰ میلیمتر در دو لبه آن واقع

¹⁵- Toric

فولاد در تحقیق در نظر گرفته شده است [۴۰]. المان‌های مرزی از فولاد با تنفس تسليمی ۳۴۵ مگاپاسکال و روق فولادی دیوار از فولاد با تنفس تسليمی ۲۳۵ مگاپاسکال تشکیل شده است. مدول الاستیسیته و ضریب پواسون فولاد در تحقیق به ترتیب برابر با ۲۰۰ گیگاپاسکال و ۰/۳ در نظر گرفته شده است. اثر بوشینگر در تغییرشکل



(الف) منحنی‌های تنش-کرنش



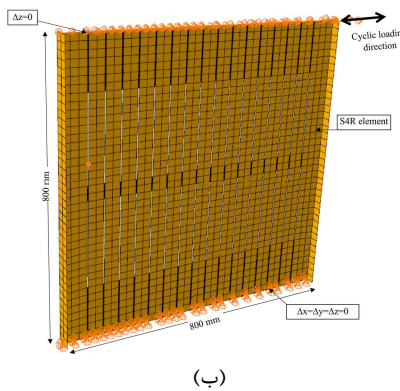
(ب) گرمای ویژه

۳- اعتبارسنجی مدل عددی

برای اعتبارسنجی مدل المان محدود عددی، از سه مدل آزمایشگاهی استفاده شده است. در مدل نخست، دو نمونه از روق فولادی دارای دو ردیف شیار تحت بارگذاری چرخه‌ای توسط هیتاکا و ماتسوی^{۱۳} قرار داده شد [۴۲]. در مدل دوم، رفتار یک دیوار برشی فولادی یک طبقه و یک دهانه با ورق فولادی دارای تنفس تسليمی پائین تحت بارگذاری چرخه‌ای توسط چن و جانگ^{۱۴} مورد بررسی قرار گرفت [۴۳]. به دلیل نبود مدل آزمایشگاهی از دیوار

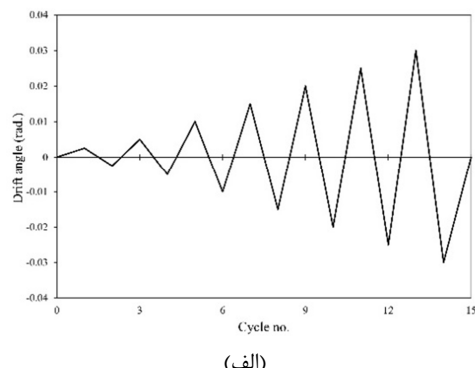
¹³- Hitaka and Matsui¹⁴- Chen and Jhang

است. همچنین فاصله شیارها از یکدیگر در نمونه‌های A102(C) و A202(C) به ترتیب برابر با ۴۲ و ۸۶ میلیمتر می‌باشد. همچنین طول شیارها در دو نمونه برابر با ۲۳۵ و ۱۶۸ میلیمتر در نظر گرفته شدن. الگوی بارگذاری چرخه‌ای در شکل ۵ به همراه نمونه مشبندی شده نشان داده شده است.



(ب)

شده است. ضخامت ورق و سخت‌کننده برابر با ۴/۵ میلیمتر می‌باشد. تنش تسلیم و نهایی ورق‌ها به ترتیب برابر با ۲۹۷ و ۳۸۲ مگاپاسکال می‌باشند [۴۲]. از بین نمونه‌های آزمایش شده، دو نمونه با نامهای A102(C) و A202(C) برای اعتبارسنجی انتخاب گردید. تفاوت این دو نمونه در فاصله شیارها از یکدیگر و طول شیار می‌باشد. در هر دو نمونه، عرض شیار برابر با ۳ میلیمتر اختیار شده



(الف)

شکل ۵- مدل‌سازی عددی، (الف) الگوی بارگذاری چرخه‌ای [۴۲] و (ب) مدل مشبندی شده با شرایط مرزی

مدل صحبت‌سنجی دوم از تحقیق انجام گرفته توسط چن و جانگ بر روی دیوار فولادی برشی متشکل از ورق فولادی با تنش تسلیم پائین انتخاب شده است. آنها در این تحقیق، از ورق فولادی با تنش تسلیم و تنش نهایی ۹۳ و ۲۷۲ مگاپاسکال استفاده نمودند [۴۲]. عملکرد پنج نمونه آزمایشگاهی تحت بارگذاری چرخه‌ای مورد بررسی قرار گرفت. نمونه شماره ۱ از تحقیق آنها برای اعتبارسنجی مرحله دوم انتخاب شده است. ورق مربع‌شکل دیوار فولادی به بعد ۱۲۵۰ و ضخامت ۸ میلیمتر می‌باشد. برای تیر و ستون‌های اطراف ورق فولادی دیوار برشی به ترتیب از مقاطع H۲۵۰×۲۵۰×۹×۱۴ و H۲۴۴×۱۷۵×۷×۱۱ است. در جدول ۳، مشخصات مکانیکی مصالح ارائه شده است.

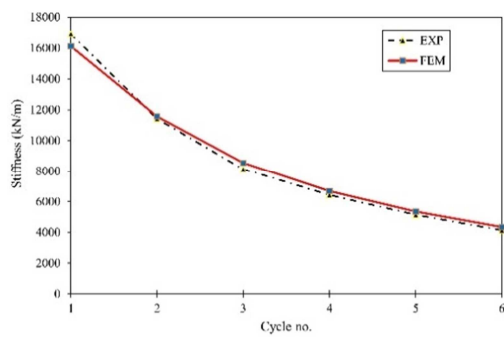
در شکل ۸ الگوی بارگذاری به کار رفته در مدل شماره ۱ و مدل مشبندی شده به همراه شرایط مرزی نشان داده شده است. در شکل ۹ نیز مقایسه‌ای بین

در شکل ۶ مقایسه‌ای بین نتایج نمودارهای نیرو دوران و تغییرات سختی- شماره سیکل برای دو نمونه A202(C) و A102(C) صورت گرفته است. با توجه به نمودارها، می‌توان دریافت که حدآکثر نیروی قابل تحمل در نمونه عددی A102(C) برابر با $108/3$ کیلونیوتن است که تقریباً $1/5$ درصد بیشتر از نمونه آزمایشگاهی است. همچنین براساس تغییرات سختی سیکل‌ها مشخص می‌شود که حدآکثر اختلاف در مقدار سختی در سیکل‌های اول و سوم به میزان ۵ درصد بین دو نمونه المان محدود و آزمایشگاهی وجود دارد. با توجه به شکل ۶- ب، حدآکثر اختلاف سختی بین دو نمونه آزمایشگاهی و عددی به تقریباً ۸ درصد می‌رسد که در سیکل شماره ۱ اتفاق می‌افتد.

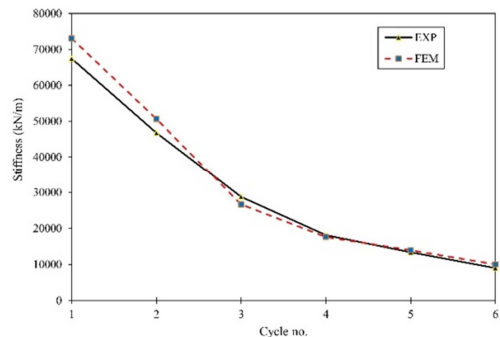
علاوه‌بر این در شکل ۷ مقایسه‌ای بین دو شکل مود نهایی دو نمونه آزمایشگاهی و عددی A202(C) نشان داده شده است که تمام موارد صحت نتایج مدل عددی را تأیید می‌نماید.

(ب) مدل اعتبارسنجی دوم

عددی صورت گرفته است.



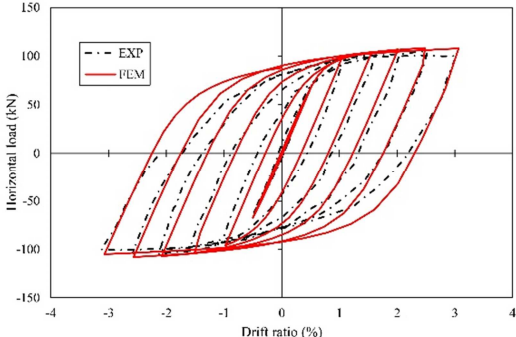
(الف)



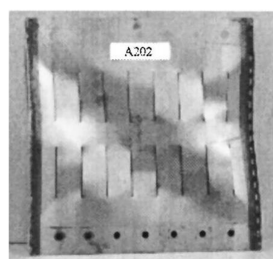
(ب)

رابطه بین سختی و سیکل‌های بارگذاری

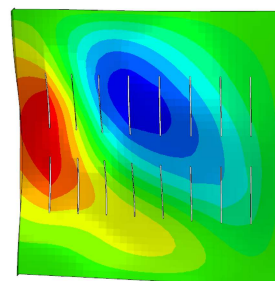
شکل ۶- مقایسه نتایج مدل عددی و نمونه آزمایشگاهی (الف) A102(C) و (ب) A202(C) [۴۲]



منحنی نیرو-نسبت دریفت



(ب)



(الف)

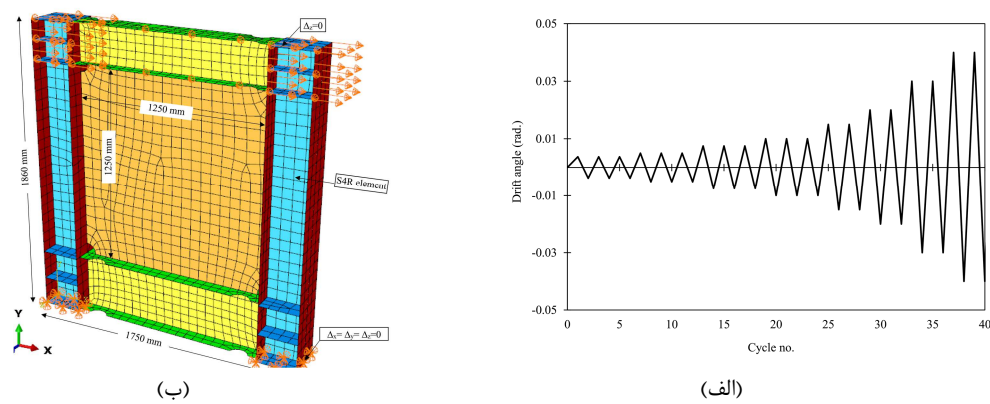
شکل ۷- شکل مود نهایی نمونه (الف) آزمایشگاهی [۴۲] و (ب) عددی مدل (C) A202(C)

درصد می‌باشد. در شکل ۱۰ مقایسه‌ای بین تغییرشکل نهایی دو مدل عددی و آزمایشگاهی شماره ۱ نشان داده شده است که نشان از صحیح بودن نتایج مدل عددی دارد.

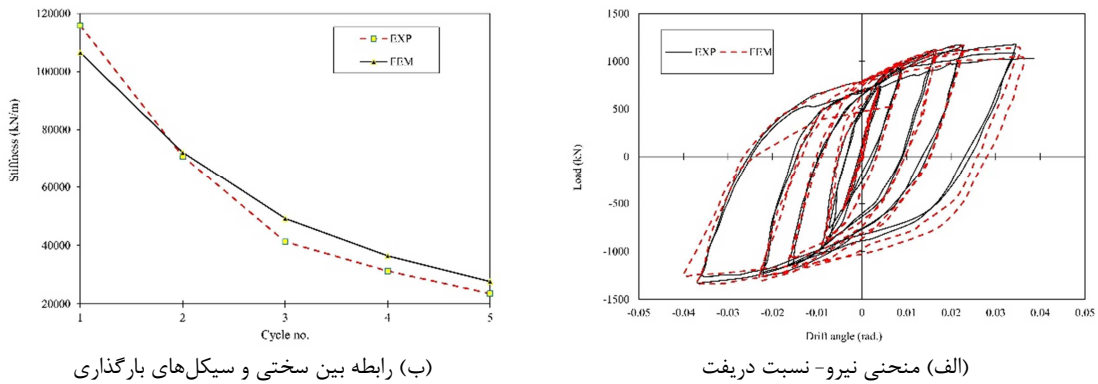
مطابق با نمودار، مشخص می‌شود که حد اکثر نیروی جانبی قابل تحمل توسط نمونه آزمایشگاهی برابر با ۱۱۹۰ کیلونیوتون است که تقریباً ۲/۵ درصد بیشتر از همان نیرو در مدل عددی است. همچنین دریافت می‌شود که حد اکثر اختلاف تغییرات سختی در سیکل اول و به مقدار

جدول ۳- مشخصات مکانیکی مصالح فولادی [۴۳]

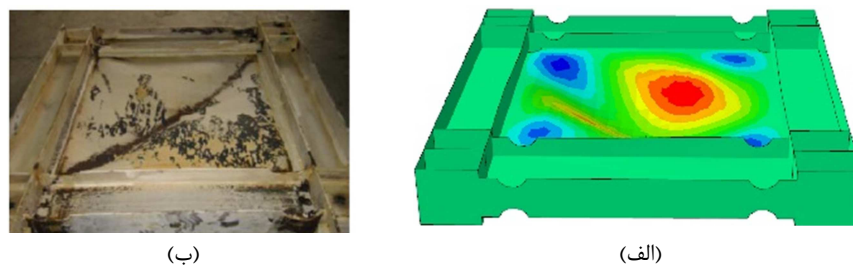
کرنش نهایی (درصد)	تنش نهایی (مگاپاسکال)	تنش تسليم (مگاپاسکال)	ضخامت ورق (میلیمتر)
۱۳	۵۵۶	۴۴۵	۷
۱۲	۴۵۴	۳۲۶	۹
۱۳	۵۴۱	۴۳۹	۱۱
۱۲	۴۴۲	۳۱۷	۱۴



شکل ۸- مدل عددی شماره ۱، (الف) الگوی بارگذاری چرخه‌ای و (ب) شرایط مرزی



شکل ۹- مقایسه نتایج مدل عددی و آزمایشگاهی شماره ۱



شکل ۱۰- شکل مود نهایی دو مدل عددی و آزمایشگاهی شماره ۱

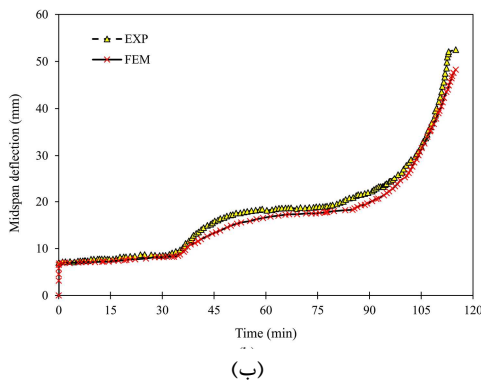
فولادی در دمای ۲۰ درجه سلسیوس برابر با ۳۷۰ مگاپاسکال و تنش نهایی آن برابر با ۵۳۰ مگاپاسکال می‌باشد. مقایسه خیز وسط دهانه بین دو نمونه آزمایشگاهی و عددی در شکل (۱۱- ب) نمایش داده شده است. تغییرشکل محاسبه شده توسط توریک و همکاران و نتیجه مطالعه عددی با یکدیگر تطبیق قابل قبولی دارند. حداقل میزان اختلاف بین نتایج دو نمونه را می‌توان در حدود ۲ درصد در مدت زمان بارگذاری یافت.

۴- نتایج و بحث

۴-۱- تأثیر نسبت لاغری ورق دیوار فولادی

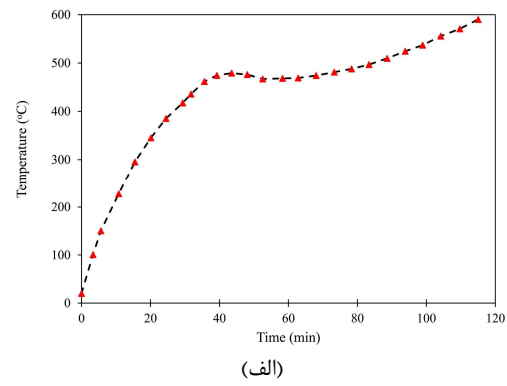
(ج) مدل اعتبارسنجی سوم در سال ۲۰۱۳، توریک و همکاران مطالعه آزمایشگاهی روی یک تیر فولادی تحت حریق را انجام دادند. در این مطالعه از تیر به طول ۲/۵ متر متکی بر دو تکیه‌گاه مفصلی در ابتداء و انتهای دهانه استفاده شد [۴۴]. طولی به میزان ۱/۲۵ متر وسط دهانه تحت بارگذاری حریق مطابق با شکل (۱۱- الف) قرار داده شد. در گام اول، یک بار قائم ثابت ۲۰۰ کیلونیوتن به وسط دهانه اعمال گردید. در مرحله دوم، تغییرشکل ناشی از حضور آتش در وسط دهانه در مدت زمان ۱۱۵ دقیقه اندازه‌گیری شد. تنش تسليم فولاد به کار رفته در تیر

کمانشی دیوار برشی با ضخامت‌های مختلف ورق دیوار در شکل ۱۲ نشان داده شده است. در این شکل، تغییرشکل‌های برون صفحه‌ای در برابر نیروهای جانبی اعمالی ارائه شده‌اند. همچنین در شکل ۱۳ نمودارهای نیرو-نسبت تغییرمکان نسبی نشان داده شده است.



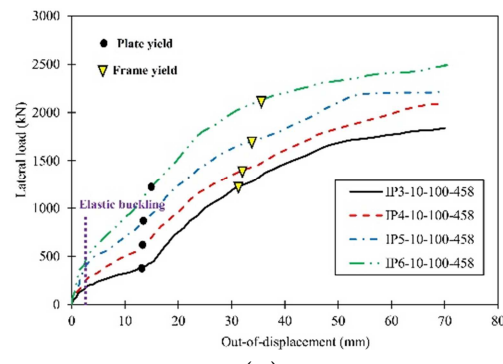
(ب)

برای مشاهده تأثیر نسبت لاغری بر رفتار دیوار برشی فولادی مورد بحث، از چهار مقدار $666/7$ ، 500 ، 400 و $333/3$ استفاده شده است. با توجه به بعد ورق دیوار برشی (2000 میلیمتر)، ضخامت ورق متناظر با مقادیر فوق برابر با 3 ، 4 ، 5 و 6 میلیمتر می‌شود. رفتار

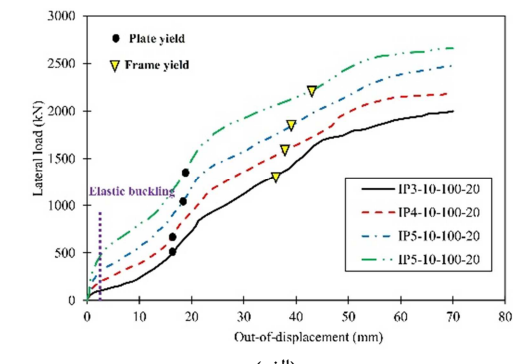


(الف)

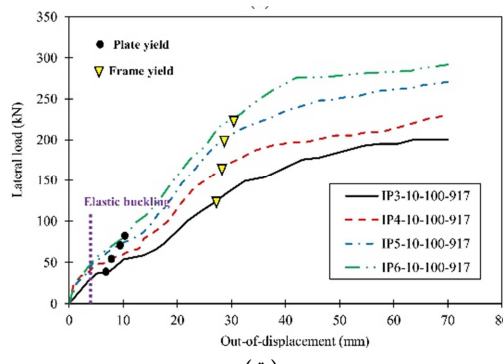
شکل ۱۱- تغییرات دما، (الف) الگوی دما- زمان و (ب) منحنی تغییرشکل- زمان در وسط دهانه تیر



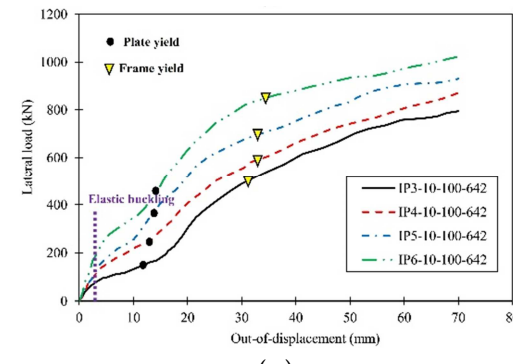
(ب)



(الف)



(ت)



(پ)

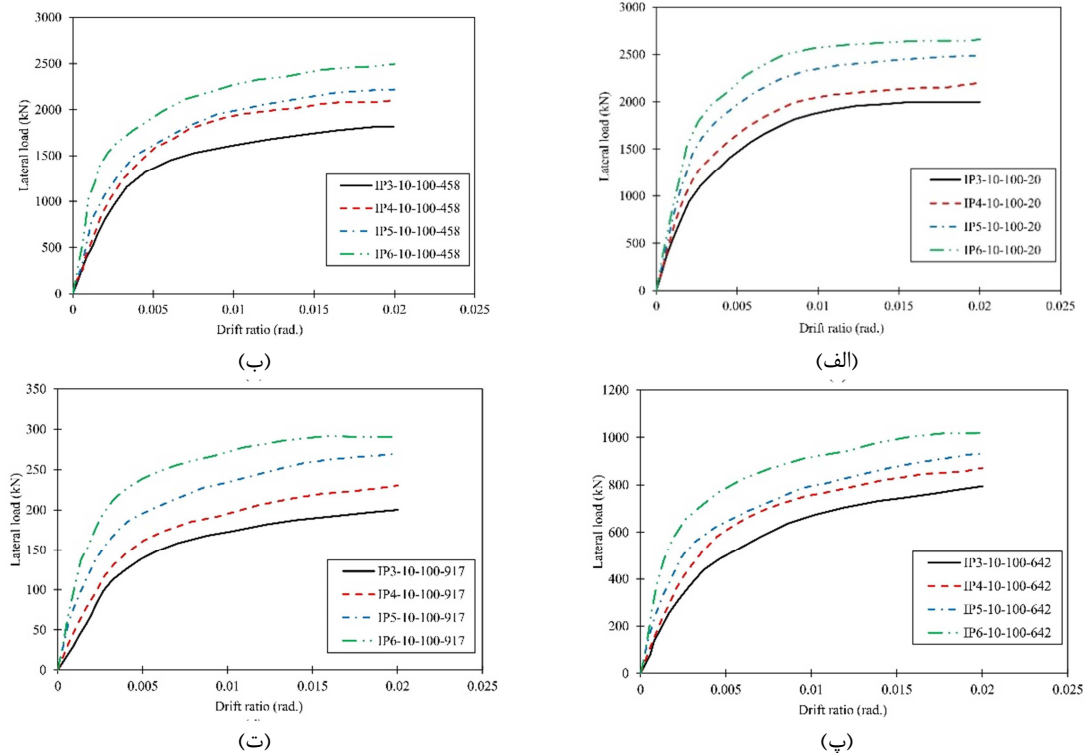
شکل ۱۲- منحنی تغییرشکل برون محوری- بار جانبی برای مدل‌های عددی با ضخامت‌های مختلف در دمای (الف) 20 ، (ب) 458 ، (پ) 642 و (ت) 917 درجه سلسیوس

تسليم مؤلفه‌های سیستم دیوار برشی فولادی با ضخامت‌های مختلف ورق دیوار و دمای‌های مختلف نشان داده شده است. همان‌طور که ملاحظه می‌شود، افزایش ضخامت ورق دیوار منجر به افزایش قابل ملاحظه در

با توجه به تعداد زیاد نمونه‌ها، تنها نتایج نیروی جانبی- تغییرمکان برون صفحه‌ای نمونه‌های با عرض شیار و نوار ثابت برابر با 10 و 100 میلیمتر در شکل ۱۲ نشان داده شده‌اند. در شکل ۱۲، مقاومت کمانشی و توالی

همچنین کمانش الاستیک در تمام نمونه‌ها در محدوده ۱/۵ تا ۲/۵ میلیمتر از تغییرشکل برون محوری رخ می‌دهد.

مقاومت کمانش و کاهش تغییرمکان برون صفحه‌ای می‌شود. به طور مثال، در دمای ۹۱۷ درجه سلسیوس، با افزایش ضخامت ورق دیوار از ۳ به ۶ میلیمتر، مقاومت کمانشی، افزایش تقریباً ۴۵ درصدی را خواهد داشت.



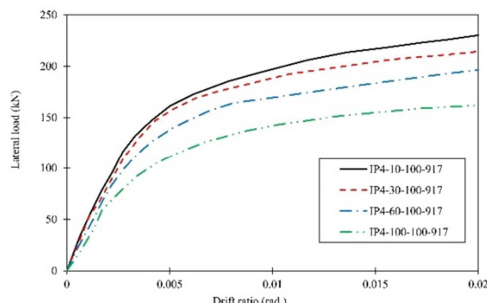
شکل ۱۳- منحنی تغییرشکل جانبی- بار جانبی برای مدل‌های عددی با ضخامت‌های مختلف در دمای (الف) ۲۰، (ب) ۴۵۸، (پ) ۶۴۲ و (ت) ۹۱۷ درجه سلسیوس

تدریج ناپدید می‌شود. با این وجود، مشاهده می‌شود که دیوار برشی موردنظر تغییرشکل‌های الاستیک را با حداکثر سختی جانبی تجربه می‌کند. قبل از نسبت دریفت حدوداً ۰/۱۰ درصد، کاهش ناچیز در سختی وجود دارد و دلیل آن کمانش موضعی نوارهای بین دو شیار در ناحیه فشاری هستند. پس از نسبت دریفت ۰/۱۰ درصد، به دلیل توالی تسلیم نوارهای بین شیارها، کاهش در سختی اتفاق می‌افتد. ناحیه تسلیم با افزایش نیروی برشی به تدریج گسترش می‌یابد. افت ناگهانی در سختی جانبی زمانی به وجود می‌آید که نسبت دریفت به ۰/۴۷ درصد می‌رسد. دلیل این موضوع این است که تمام نوارهای مورب بین دو شیار تسلیم شده‌اند.

علاوه‌بر این موارد، باید بیان نمود که با افزایش حرارت، نقطه تسلیم ورق و قاب در تغییرمکان کمتر اتفاق می‌افتد. با افزایش ضخامت ورق دیوار، نقطه تسلیم ورق در نسبت دریفت بالا رخ می‌دهد. با این حال، برای دیوار برشی فولادی با ضخامت ورق مختلف، نقطه تسلیم ورق همیشه قبل از نقطه تسلیم قاب است (شکل ۱۳). همچنین در تمام موارد با افزایش ضخامت مشاهده می‌شود که ظرفیت برشی نیز افزایش یافت.

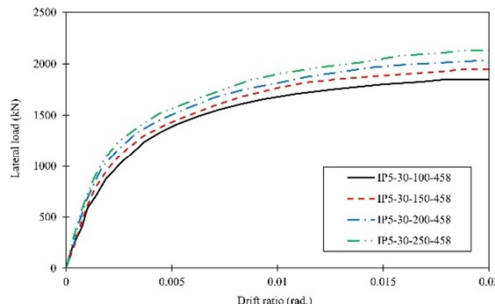
نمودار سختی- نسبت دریفت برای دیوار برشی مورد نظر با ضخامت‌های مختلف در دماهای متفاوت در شکل ۱۴ نشان داده شد. برای دیوار برشی با کاهش ضخامت متفاوت ورق دیوار، سختی جانبی اولیه با افزایش ضخامت ورق دیوار، کاهش می‌یابد و با افزایش نسبت دریفت، به

ضخامت ورق ۵ میلیمتر و عرض شیار ۳۰ میلیمتر در دمای ۴۵۸ درجه سلسیوس نشان داده شده است.



شکل ۱۵- منحنی بار جانبی- نسبت دریفت مدل های عددی المان محدود با عرض های شیار مختلف در دمای ۹۱۷ درجه سلسیوس

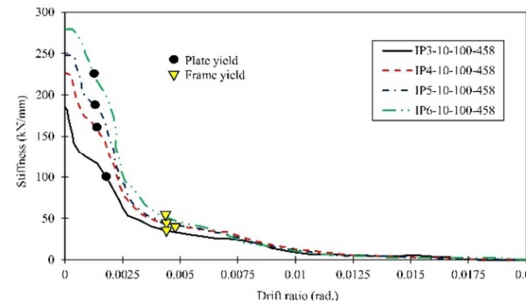
مقاومت برشی و سختی دیوارهای فولادی با عرض های مختلف نوار با افزایش عرض نوار رابطه مستقیمی دارد. با توجه به نتایج، با تغییر عرض نوار از ۱۰۰ میلیمتر به ۲۵۰ میلیمتر، ظرفیت برابری از ۱۸۵۱ کیلونیوتن به ۲۱۲۵ کیلونیوتن (تقریباً ۱۵ درصد) افزایش یافته است.



شکل ۱۶- منحنی های نیرو- نسبت دریفت برای مدل های المان محدود با عرض های نوار مختلف در دمای ۴۵۸ درجه سلسیوس

۴-۴- تأثیر دما

شکل ۱۷، توزیع تنش فون میسز دیوار برشی را در نسبت های مختلف دریفت و در دمای ۲۰ درجه نشان می دهد. با توجه به شکل، مقدار و موقعیت تنش ها با کنتورهای رنگی نشان داده شده اند. بر این اساس، با افزایش دما، حد اکثر تنش قابل تحمل توسط اعضای دیوار فولادی کاهش پیدا می کند. به عنوان نمونه در نسبت



شکل ۱۴- منحنی سختی- نسبت دریفت مدل های عددی المان محدود با مقادیر متفاوت ضخامت ورق دیوار در دمای ۴۵۸ درجه سلسیوس

۴-۴- تأثیر عرض شیار

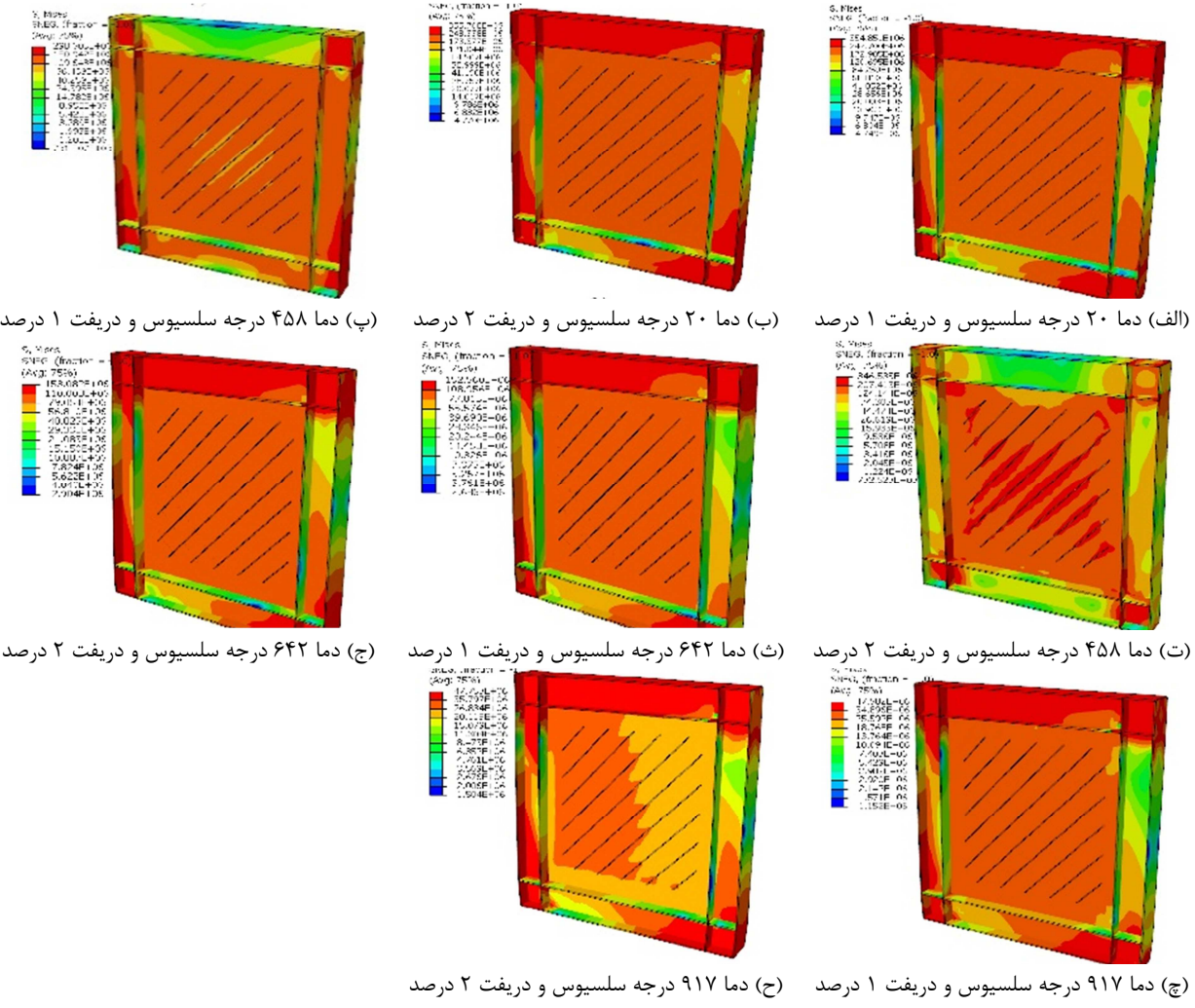
برای دست یافتن به سختی جانبی و ظرفیت برشی مطلوب، نیاز نیست تنها به استفاده از ورق فولادی با ضخامت مختلف یا مصالح فولادی با تنفس تسليم متفاوت محدود شد. بلکه می توان با تغییر در عرض شیار به سطوح مختلف از سختی جانبی و مقاومت برشی دست یافت. چهار مقدار برای عرض شیار شامل ۱۰، ۳۰، ۶۰ و ۱۰۰ میلیمتر در نظر گرفته شدند. نمودار نیروی جانبی- نسبت دریفت برای نمونه های دارای عرض نوار برابر با ۱۰۰ و ضخامت ورق برابر با ۴ میلیمتر در شکل ۱۵ ارائه شده است. همانگونه که ملاحظه می شود، سختی و مقاومت دیوار برشی فولادی با افزایش عرض شیار کاهش می باید. به طور نمونه، برای مدل های ارائه شده در شکل ۱۵، با افزایش عرض شیار از ۱۰ به ۱۰۰ میلیمتر، ظرفیت برابری جانبی از ۲۳۰ کیلونیوتن به ۱۶۲ کیلونیوتن رسیده است که ۳۰٪ کاهش یافته است. همچنین، سختی اولیه مدل ها نیز تقریباً ۳۵ درصد کاهش یافت.

۴-۳- تأثیر عرض نوار

با توجه به جدول ۱، چهار مقدار برای عرض نوار در مطالعات پارامتریک لحاظ شد که برابر با ۱۰۰، ۱۵۰ و ۲۰۰ و ۲۵۰ میلیمتر می باشد. در شکل ۱۶، رابطه بین نسبت دریفت و بار جانبی برای مدل های المان محدود با

سلسیوس، قبل از اینکه نمونه تحت بارگذاری جانبی قرار داده شود، تمام تنش‌های به وجود آمده در نمونه باعث تسلیم شدن اعضای ورق دیوار و المان‌های مرزی شد.

دریفت ۱ درصد، با افزایش دما از ۴۵۸ به ۹۱۷، مقدار حداکثر تنش فون میسز از ۴۷/۶ به ۲۹۸/۶ مگاپاسکال کاهش می‌یابد. لازم به ذکر است که در دمای ۹۱۷ درجه



شکل ۱۷- توزیع تنش فون میسز برای مدل عددی با ضخامت ورق ۳ میلیمتر، عرض شیار ۱۰۰ میلیمتر و عرض نوار ۱۰۰ میلیمتر در دمای ۹۱۷ درجه سلسیوس و دریفت ۱ درصد

نمایه ای از دریفت مختلط

می‌باشد. با افزایش دما مشخص شد که مود خرابی شامل تغییرشکل برون صفحه‌ای ورق دیوار فولادی و کمانش جانبی بال تیرها و در دمای ۹۱۷ درجه سلسیوس بال ستون‌های پیراونی دیوار نیز دچار اعوجاج می‌شوند.

۵- نتیجه‌گیری

مطالعه حاضر به بررسی رفتار دیوار برشی تمام فولادی کمانشتاب در دمای‌های مختلف می‌پردازد. برای این منظور ابتدا مدل عددی المان محدود در سه مرحله با نمونه‌های آزمایشگاهی اعتبارسنجی شد. پس از

میزان کاهش مقاومت برشی نمونه‌های با ضخامت ورق دیوار ۳، عرض شیار ۱۰ و عرض نوار ۱۰۰ میلیمتر در دمای‌های ۴۵۸، ۶۴۲ و ۹۱۷ درجه سلسیوس به ترتیب برابر با ۱۰، ۶۰ و ۹۰٪ در مقایسه با نمونه در دمای ۲۰ درجه سلسیوس می‌باشد. با توجه به جدول ۱، افزایش در ضخامت ورق تأثیر مستقیم بر ضریب مقاومت برشی در دمای‌های بالا دارد. همچنین، با توجه به بررسی‌های صورت گرفته، میانگین کاهش مقاومت برشی در دمای‌های ۴۵۸، ۶۴۲ و ۹۱۷ درجه سلسیوس به ترتیب ۱۸، ۴۶ و ۹۲٪ در مقایسه با مقاومت برشی در دمای ۲۰ درجه سلسیوس

رخ می‌دهد. همچنین با افزایش دما، نقطه تسلیم ورق و قاب در تغییر مکان کمتر اتفاق می‌افتد.

-۳- با افزایش عرض شیار، ظرفیت برابری جانبی به طور میانگین ۰.۲۵٪ در تمام گروههای دماهی کاهش یافته است. همچنین، سختی اولیه مدل‌ها نیز به طور میانگین تقریباً ۳۵ درصد کاهش یافت.

-۴- میانگین کاهش مقاومت برشی در دماهای ۴۵۸ و ۶۴۲ و ۹۱۷ درجه سلسیوس به ترتیب ۱۸، ۱۸ و ۲۰٪ در مقایسه با مقاومت برشی در دماهی ۴۵۸ درجه سلسیوس می‌باشد.

اطمینان از صحت مدل‌سازی عددی، ۲۵۶ مدل عددی از دیوار برشی فولادی کمانش تاب ساخته و تحت بارگذاری دو مرحله‌ای شامل حرارت و چرخه‌ای قرار داده شد. متغیرهای مورد بررسی در این مطالعه شامل ضخامت ورق دیوار فولادی، عرض شیار، عرض نوار بین دو شیار و دما بود. مهم‌ترین یافته‌های تحقیق در ادامه ارائه شدند:

- ۱- در دمای معمولی ۲۰ درجه سلسیوس، وضعیت تنفس دو سویه کشش- فشار در ورق‌ها به وجود می‌آید که در اثر تکرار سیکل‌های بارگذاری می‌تواند کمانش و خسارت را به تأخیر بیاندازد.
- ۲- کمانش الاستیک در تمام نمونه‌ها در محدوده ۱/۵ تا ۲/۵ میلیمتر از تغییر شکل برون محوری

مراجع

- [1] Driver, R. G., Kulak, G. L., Kennedy, D. L., & Elwi, A. E. (1998). "Cyclic test of four-story steel plate shear wall", *Journal of Structural Engineering*, 124(2), 112-120.
- [2] Wang, M., Yang, W., Shi, Y., & Xu, J. (2015). "Seismic behaviors of steel plate shear wall structures with construction details and materials", *Journal of Constructional Steel Research*, 107, 194-210.
- [3] Sabouri-Ghomí, S., & Roberts, T. (1992). "Nonlinear dynamic analysis of steel plate shear walls including shear and bending deformations", *Engineering Structures*, 14(5), 309-317.
- [4] Rahmzadeh, A., Ghassemieh, M., Park, Y., & Abolmaali, A. (2016). "Effect of stiffeners on steel plate shear wall systems", *Steel and Composite Structures*, 20(3), 545-569.
- [5] Astaneh-Asl, A. (2001). *Seismic behavior and design of steel shear walls*. Structural Steel Educational Council Moraga, CA.
- [6] Vian, D., Bruneau, M., & Purba, R. (2009). "Special perforated steel plate shear walls with reduced beam section anchor beams. II: Analysis and design recommendations", *Journal of Structural Engineering*, 135(3), 221-228.
- [7] Thorburn, L. J., Montgomery, C., & Kulak, G. L. (1983). *Analysis of steel plate shear walls*. Structural Engineering Report No. 107, University of Alberta, Edmonton, Canada.
- [8] Alavi, E., & Nataeghi, F. (2013a). "Experimental study on diagonally stiffened steel plate shear walls with central perforation", *Journal of Constructional Steel Research*, 89, 9-20.
- [9] Guo, H., Li, Y., Liang, G., & Liu, Y. (2017). "Experimental study of cross stiffened steel plate shear wall with semi-rigid connected frame", *Journal of Constructional Steel Research*, 135, 69-82.
- [10] Alavi, E., & Nataeghi, F. (2013b). "Experimental study of diagonally stiffened steel plate shear walls", *Journal of Structural Engineering*, 139(11), 1795-1811.
- [11] Guo, Y. L., Miu, Y., & Dong, Q. L. (2007). "Elastic buckling behavior of stiffened steel plate shear walls slotted at two edges", *Progress in Steel Building Structures*, 9(3), 58-62.
- [12] Amiri, B., AghaRezaei, H., & Esmailabadi, R. (2018). "The effect of diagonal stiffeners on the behaviour of stiffened steel plate shear wall", *Computational Engineering and Physical Modeling*, 1(1), 58-67.
- [13] Shafaei, S., Ayazi, A., & Farahbod, F. (2016). "The effect of concrete panel thickness upon composite steel plate shear walls", *Journal of Constructional Steel Research*, 117, 81-90.
- [14] Han, Q., Zhang, Y., Wang, D., & Sakata, H. (2019). "Seismic behavior of buckling-restrained steel plate shear wall with assembled multi-RC panels", *Journal of Constructional Steel Research*, 157, 397-413.
- [15] Elgaaly, M., & Liu, Y. (1997). "Analysis of thin-steel-plate shear walls", *Journal of Structural Engineering*, 123(11), 1487-1496.
- [16] Sabouri-Ghomí, S., & Roberts, T. (1991). "Nonlinear dynamic analysis of thin steel plate shear walls", *Computers & structures*, 39(1-2), 121-127.

- [17] Du, Y., Hao, J., Yu, J., Yu, H., Deng, B., Lv, D., & Liang, Z. (2018). "Seismic performance of a repaired thin steel plate shear wall structure", *Journal of Constructional Steel Research*, 151, 194-203.
- [18] Shafaei, S., Farahbod, F., & Ayazi, A. (2017). "Concrete stiffened steel plate shear walls with an unstiffened opening", *Structures*, 12, 40-53.
- [19] Meghdadaian, M., & Ghalehnovi, M. (2019). "Improving seismic performance of composite steel plate shear walls containing openings", *Journal of Building Engineering*, 21, 336-342.
- [20] Farzampour, A., Laman, J. A., & Mofid, M. (2015). "Behavior prediction of corrugated steel plate shear walls with openings", *Journal of Constructional Steel Research*, 114, 258-268.
- [21] Zirakian, T., & Zhang, J. (2015). "Structural performance of unstiffened low yield point steel plate shear walls", *Journal of Constructional Steel Research*, 112, 40-53.
- [22] Ma, Z.-y., Hao, J.-p., & Yu, H.-s. (2018). "Shaking-table test of a novel buckling-restrained multi-stiffened low-yield-point steel plate shear wall", *Journal of Constructional Steel Research*, 145, 128-136.
- [23] Zirakian, T., & Zhang, J. (2015b). "Seismic design and behavior of low yield point steel plate shear walls", *International Journal of Steel Structures*, 15(1), 135-151.
- [24] Shekastehband, B., Azaraxsh, A., & Showkati, H. (2017). "Experimental and numerical study on seismic behavior of LYS and HYS steel plate shear walls connected to frame beams only", *Archives of civil and mechanical engineering*, 17, 154-168.
- [25] Qi, Y., Gu, Q., Sun, G., & Zhao, B. (2017). "Shear force demand on headed stud for the design of composite steel plate shear wall", *Engineering Structures*, 148, 780-792.
- [26] Jin, S., Yang, S., & Bai, J. (2019). "Numerical and experimental investigation of the full-scale buckling-restrained steel plate shear wall with inclined slots", *Thin-Walled Structures*, 144, 106362.
- [27] Wang, P., Xue, Z., & Xiao, S. (2017). "Seismic behavior of Self-Buckling-Restrained Steel Plate Shear Wall made by two incline-slotted infill plates", *Journal of Constructional Steel Research*, 133, 47-64.
- [28] Gardner, L., & Baddoo, N. (2006). "Fire testing and design of stainless-steel structures", *Journal of Constructional Steel Research*, 62(6), 532-543.
- [29] Richard Liew, J., & Chen, H. (2004). "Direct analysis for performance-based design of steel and composite structures", *Progress in structural engineering and materials*, 6(4), 213-228.
- [30] Yang, K.-C., Chen, S.-J., Lin, C.-C., & Lee, H.-H. (2005). "Experimental study on local buckling of fire-resisting steel columns under fire load", *Journal of Constructional Steel Research*, 61(4), 553-565.
- [31] Liew, J. R. (2008). "Survivability of steel frame structures subject to blast and fire", *Journal of Constructional Steel Research*, 64(7-8), 854-866.
- [32] Dong, Y., Zhu, E., & Prasad, K. (2009). "Thermal and structural response of two-storey two-bay composite steel frames under furnace loading", *Fire safety journal*, 44(4), 439-450.
- [33] Sun, R., Huang, Z., & Burgess, I. W. (2012). "Progressive collapse analysis of steel structures under fire conditions", *Engineering Structures*, 34, 400-413.
- [34] Hoehler, M. S., Smith, C. M., Hutchinson, T. C., Wang, X., Meacham, B. J., & Kamath, P. (2017). "Behavior of steel-sheathed shear walls subjected to seismic and fire loads", *Fire safety journal*, 91, 524-531.
- [35] Ryu, M. G., He, K., Lee, D. H., Park, S. I., Thomas, G., & Paik, J. K. (2021). "Finite element modeling for the progressive collapse analysis of steel stiffened-plate structures in fires", *Thin-Walled Structures*, 159, 107262.
- [36] Tao, Y., Mahendran, M., & Ariyanayagam, A. (2021). "Fire tests of cold-formed steel walls made of hollow section studs", *Journal of Constructional Steel Research*, 178, 106495.
- [37] Reis, A., Lopes, N., & Real, P. V. (2019). "Ultimate shear strength of steel plate girders at normal and fire conditions", *Thin-Walled Structures*, 137, 318-330.
- [38] ISO-834. (1975). Fire resistance tests-elements-elements of building construction.
- [39] Council, A. T. (1992). *Guidelines for cyclic seismic testing of components of steel structures*. ATC-24.
- [40] Abaqus, V. (2014). 6.14 Documentation. *Dassault Systemes Simulia Corporation*, 651, 6.2.
- [41] Standard, B. (2006). *Eurocode 3-Design of steel structures-*. BS EN 1993-1, 1, 2005.
- [42] Hitaka, T., & Matsui, C. (2003). "Experimental study on steel shear wall with slits", *Journal of Structural Engineering*, 129(5), 586-595.
- [43] Chen, S.-J., & Jhang, C. (2006). "Cyclic behavior of low yield point steel shear walls", *Thin-Walled Structures*, 44(7), 730-738.
- [44] Torić, N., Harapin, A., & Boko, I. (2013). "Experimental verification of a newly developed implicit creep model for steel structures exposed to fire", *Engineering Structures*, 57, 116-124.